

地すべりの崩壊予知と可塑粘性係数について

秋田工專 正会員 ○伊藤 駿
建設省秋田工事事務所 佐藤 実
秋田工專(学) 石井 道

1. まえがき

東北の陸地方の地すべりは中央構造線沿いの地すべりと比べよく動き方が異なることが指摘されるが、この理由は構成地質材料の性質に依るものと思われる。第3紀層を中心とする東北の陸地方の地すべりは動きが緩慢で集中的降雨などでは余りすべらず、むしろ融雪期の地下水が高まつた頃に頻発している。しかもそれかクリー¹⁾性地すべりである場合が多く、この夷地すべりがレオロジー的特性を示す夷であると言われている。地すべりヲレオロジー定数を知つておくことは、その地すべりがどんな動きをするのか把握するので、対策工事を施す場合重要である。本文では地すべりは地下水が高まってかなり流動性を増して粘塑性的挙動を示すBingham体であると仮定し、現場のデータを用いて可塑粘性係数を求めてみた。齊藤は土のクリー¹⁾現象を利用して予知論を展開しているがこれはかなり有効な方法である。そこで同一地すべり地の移動曲線より上記理論による考察も試みた。

2. 可塑粘性係数の決定

地すべり土のレオロジー特性を決定する方法はいくつかあるが、ここで取扱うBingham体としたのは、Voigt粘弹性体とした場合のレオロジー定数とBingham体と考えて算出したレオロジー定数との間にかなり差異があること及びTer-Stepanian²⁾が提示したものとBingham体とが良く合うということによる。Binghamの粘塑性体は、図-1に示すダンシュホットとスライダーで組合せらるる変形挙動を

$$\tau = \tau_0 + \gamma_{pl} \frac{dy}{dx} \quad (1) \quad (\tau: \text{せん断応力}, \tau_0: \text{降伏応力}, \gamma_{pl}: \text{可塑粘性係数}, \frac{dy}{dx}: \text{速度勾配})$$

と表わす。これにCoulombの降伏条件式 $\tau_0 = C + \sigma \tan \phi$ を組合せると、

$$\tau = C + \sigma \tan \phi + \gamma_{pl} \frac{dy}{dx} \quad (2)$$

ここで τ , ϕ を決定するため、地すべり斜面の勾配 θ , 土の内部摩擦角 ϕ , 粘着力 C , 地すべりの土厚 H , 鉛直方向のそれを H_0 とする。詳細は省略して地すべり速度 v を求め

$$v = \frac{\gamma(H_0^2 - H^2)(\tan \phi - \tan \theta) \cos^3 \theta + 2C(H_0 - H) \cos \theta}{2 \gamma_{pl}} \quad (3)$$

これより可塑粘性係数 (γ_{pl}) は

$$\gamma_{pl} = \frac{\gamma(H_0^2 - H^2)(\tan \phi - \tan \theta) \cos^3 \theta + 2C(H_0 - H) \cos \theta}{2 v} \quad (4)$$

実際の地すべり（秋田県六郷湯浅地区地すべり、断面は図-3）について γ_{pl} を求めると、 $\phi=35^\circ$, $C=2.1 \text{ kN/m}^2$, $\gamma=1.8 \text{ kN/m}^3$ を用い、最小2乗法により

$$\gamma_{pl} = 803.5 v^{-1.075} \quad (5)$$

水位を $(1/2)H_0$ とすると（図-4の仮定水位では）

$$\gamma_{pl} = 4743 v^{-1.074} \quad (6)$$

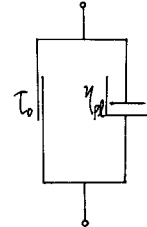


図-1. Binghamモデル

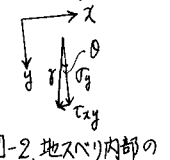


図-2. 地すべり内部の応力状態

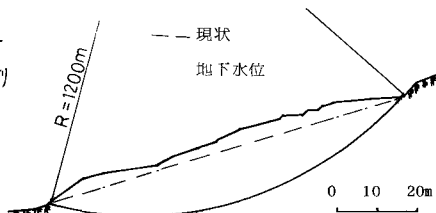


図-3. 計算モデルの地すべり断面

となり地下水位が下がれば、 γ_{pl} が大きくなることが理解できる。このことは土の含水比が低くなればより粘弾性体的挙動を示すことを意味する。以上のような方法で計算した結果をグラフにすると図-4の如くとなる。この地すべりは γ_{pl} の結果から判断すると割合緩慢であること、地下水位によつて微妙に動きか変ゆるか対数確率紙にHagen plotにより表示すると確率速度の平均値 $V_m = 1.3 \times 10^{-7} \text{ cm/sec}$ となるので年間移動量は約40cmであると考えられる。この値は、国内の地すべり値とも良く合い(例えば松之山, $\gamma_{pl} = 2.18 \times 10^8$ 長者 $\gamma_{pl} \approx 3.8 \times 10^8$)今後融雪期などでは γ_{pl} 値が小さくなると思われる所以、十分警戒を要する。

3. 崩壊の予測

有藤迪考によると、地すべりが起る前のヒスマを観測しておけば、そのヒスマ速度($\dot{\epsilon}$)によって崩壊時間(t_r)を予知することができるといい、その関係を次式のように表わした。

$$\log_10 t_r = 2.33 - 0.916 \log_10 \dot{\epsilon} \pm 0.59 \quad (7)$$

この原理を利用して現場における地すべり速度最大時実について検討してみる。これによると図-5に示すように地すべりの移動曲線上にヒスマ間隔(al)の等しい3段をとりながらの余裕時間によって t_r を求める。

$$t_r - t_1 = \frac{1}{2}(t_2 - t_1)^2 / \{(t_2 - t_1) - \frac{1}{2}(t_3 - t_1)\} \quad (8)$$

実際の斜面でこれを適用すると、図に示す月日となった。ヒスマ測定は夏季以前から行なわれており第1次クリープ開始と7月中旬とおいてもやはり約60日となり上と一致する。この時期は先の γ_{pl} によつて判断しても、最も動きが活発であったことが確認され、 γ_{pl} とか良く符号している。この地すべりの速度を他の地すべりと対応させて示せば、図-6の如くとなるがグラフの左側に添つてヒスマ速度に筒余裕があつた。この筒地すべり崩壊に到らなかずと考へられるが、さらにその後排水工事を行なつて地下水位を低下させたので、ヒスマ量も急激に落ち込み辛いしたものと思われる。ここで使用した変位量は伸縮計による地表面の測定結果であるが、これによつても地すべり挙動が確認できることが検証された。

4 結分

以上秋田県六郷浮尾地区の地すべりについてレオロジー理論と崩壊予知論による検討を試みた。 t_r と γ_{pl} は互に密接な関係にあるか、雪の多い東北々陸では地すべりが融雪期に頻発しているので、この時期に亘する t_r と γ_{pl} のデータが集積できれば地すべりは相当防げるものと思われる。

なお、データ整理に当り、半田徹氏(国鉄)の努力に負うところが大きかった。記して謝意を表す。

[文献]

- (1) 例元本、竹内、「地すべり」、Vol 3, No 1, 1966 p31-36
- (2) 著藤、「土と基礎」、Vol 20, No 2, 1972 p.13-19

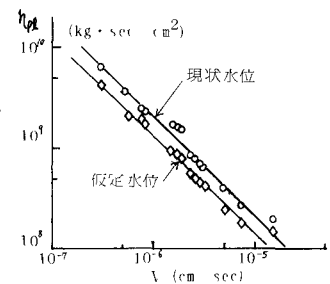


図-4 地下水位により γ_{pl} の変化

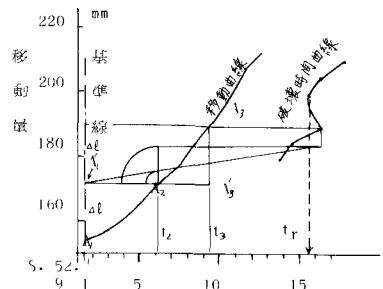


図-5 崩壊予知時間化の決定法

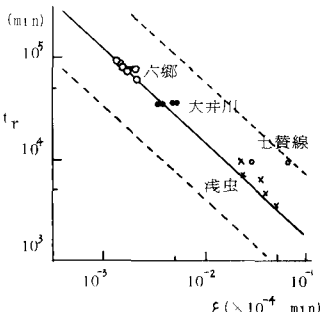


図-6 t_r の比較